

# Investigation of Copper Ion Adsorption by Alpha, Beta and Gamma Cyclodextrin by Density Function Method

H. Nourmohamadi<sup>1</sup>, L. Heidarpoor Saremi<sup>2</sup>, V. Aghazadeh<sup>3</sup>

1. PhD Student, Mining Group, Faculty of Engineering, Sahand University of Technology, Tabriz, Iran  
(Corresponding Author) ghnpm@gmail.com
2. PhD Student, Physical Chemistry Group, Faculty of Basic Sciences, Sistan and Baluchestan University, Zahedan, Iran
3. Assoc. Prof., Mining Group, Faculty of Engineering, Sahand University of Technology, Tabriz, Iran

(Received June 30, 2018 Accepted Jan. 29, 2019)

#### To cite this article:

Nourmohamadi, H., Saremi, L., Aghazadeh, V. 2020. "Investigation of copper ion adsorption by alpha, beta and gamma cyclodextrin by density function method" Journal of Water and Wastewater, 31(1), 53-60. Doi: 10.22093/wwj.2019.115799.2614. (In Persian)

## Abstract

Cyclodextrins are categorized into three groups of alpha, beta, and gamma, according to the number of their own glucose units of 6, 7 and 8 units. These ring compounds have two surfaces of hydrophilic and hydrophobic to trap compounds with different polarities. two-fold behavior of cyclodextrins has attracted the attention of the various industries, including pharmaceuticals, medicine and cosmetics. Metal cations are one of the sources of pollution of industrial and mining wastewater. In this work, the theory of the interaction of Cu<sup>1+</sup> metal cation with alpha, beta, and gamma cyclodextrin has been studied. The structure and stability energy of these compounds are investigated using the Density functional theory and the B3LYP method with a base set of 6-31g (d, p) in the gas phase and solution. Using the NBO calculations, the active site of these compounds was determined for interaction with metal cation. The calculations showed that the distribution of charge on the glucopyranose oxygen atoms as the constructors of each constructor is approximately the same. Also, the corresponding complexes were optimized using the computational level and the Chelating ability of each of these rings oligosaccharides comparison has been made. Using the NBO calculations, the active site of these compounds was determined for interaction with metal cation. The calculations showed that the distribution of charge on the glucopyranose oxygen atoms as the constructors of each constructor is approximately the same. Also, the corresponding complexes were optimized using the computational level and the Chelating ability of each of these rings oligosaccharides comparison has been made.

**Keywords:** Cyclodextrin, Electron Density Theory, Wastewater.



مجله آب و فاضلاب، دوره ۳۱، شماره ۱، صفحه: ۵۳-۶۰

## بررسی جذب یون مس با آلفا، بتا و گاما سیکلودکسترین با استفاده از روش تابع چگالی

حسین نورمحمدی<sup>۱</sup>، لیلی حیدرپور صارمی<sup>۲</sup>، والح آقازاده<sup>۳</sup>

۱- دانشجوی دکترا، گروه معدن (فراوری مواد معدنی)، دانشکده فنی و مهندسی،

دانشگاه صنعتی تبریز سهند، تبریز، ایران

(نویسنده مسئول) ghnpmec@gmail.com

۲- دانشجوی دکترا، گروه شمی فیزیک، دانشکده علوم پایه،

دانشگاه سیستان و بلوچستان، زاهدان، ایران

۳- دانشیار، گروه معدن، دانشکده فنی و مهندسی، دانشگاه

صنعتی تبریز سهند، تبریز، ایران

(دریافت ۹۷/۴/۹ پذیرش ۹۷/۱۱/۹)

**برای ارجاع به این مقاله به صورت زیر اقدام نظرمایید:**  
**نورمحمدی، ح، حیدرپور صارمی، ل، آقازاده، و، ۱۲۹۹، "بررسی جذب یون مس با آلفا، بتا و گاما سیکلودکسترین با استفاده از روش تابع چگالی"**  
**Doi: 10.22093/wwj.2019.115799.2614 (۱۲۱)، ۵۳-۶۰.**

### چکیده

سیکلودکسترین‌ها با توجه به تعداد واحدهای گلوبکری تشکیل دهنده خود، ۶، ۷ و ۸ واحد، به ترتیب به سه دسته آلفا، بتا و گاما سیکلودکسترین طبقه‌بندی می‌شوند. این ترکیبات حلقوی دارای دو سطح آبدوست و آبگریز برای به دام انداختن ترکیبات با قطبیت‌های مختلف هستند. رفتار دوگانه سیکلودکسترین‌ها سبب کاربرد آن‌ها در زمینه‌های مختلف از جمله داروسازی، پزشکی، زیست‌محیطی و آرایشی شده است. کاتیون‌های فلزی یکی از منابع آلودگی پساب‌های معدنی و صنعتی هستند، که فرایند حذف آن‌ها با سیکلودکسترین موضوع پژوهش حاضر است. در این پژوهش، آنالیز تئوری برهمکنش کاتیون فلزی  $Cu^{1+}$  با آلفا، بتا و گاما سیکلودکسترین مورد مطالعه قرار گرفت. ساختار و اثرهای پایداری این ترکیبات با استفاده از نظریه دانسیته الکترونی و روش B3LYP در فاز گازی و محلول بررسی شد. با استفاده از محاسبات NBO، جایگاه‌های فعال این ترکیبات برای برهمکنش با کاتیون فلزی مشخص شدند. محاسبات نشان داد توزیع بار الکتریکی بر روی اتم‌های اکسیژن گلوبکرینوز به عنوان واحدهای سازنده هر ترکیب تقریباً یکسان است. همچنین کمبلکس‌های مربوطه با استفاده از سطح محاسباتی مذکور بهینه‌سازی شد و قدرت کیلیت شدن هر کدام از این الیگوساکاریدهای حلقه‌ای مورد مقایسه قرار گرفت. داده‌ها نشان دادند که آلفا و بتا سیکلودکسترین به ترتیب تمایل بیشتری برای برهمکنش با کاتیون  $Cu^{1+}$  در فاز گازی و آبی دارند و بنابراین نامزدهای احتمالی برای زدودن این یون از پساب‌های صنعتی و یا معدنی به شمار می‌روند.

**واژه‌های کلیدی:** سیکلودکسترین، نظریه دانسیته الکترونی، پساب

### ۱- مقدمه

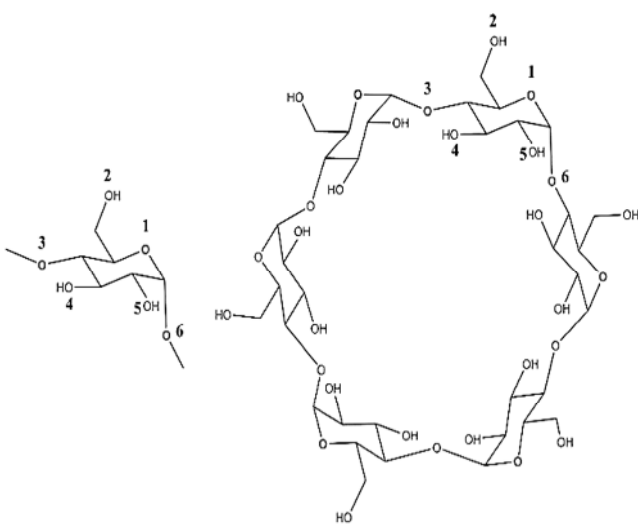
از اوخر دهه ۱۹۸۰ میلادی، سیکلودکسترین‌ها به عنوان مواد تولید شده از فساد نشاسته و یکی از پلی‌ساکاریدهای کلیدی به دست آمده از گیاهان، کاربردهای صنعتی فراوانی در زمینه‌های مختلف تمام این موارد وجود دارد: این ترکیبات سمی نیستند و به صورت

از اواخر دهه ۱۹۸۰ میلادی، سیکلودکسترین‌ها به عنوان مواد تولید شده از فساد نشاسته و یکی از پلی‌ساکاریدهای کلیدی به دست آمده از گیاهان، کاربردهای صنعتی فراوانی در زمینه‌های مختلف مانند صنایع غذایی (Kfouri et al., 2019)، داروسازی، پزشکی،



روی هر دو دهانه این مولکول باعث تشکیل حلقه‌هایی از پیوندهای هیدروژنی می‌شود. وجود کمربند هیدروژنی در هر دو طرف مخروط، مسئول استحکام مولکول بتاسیکلودکسترین بوده و احتمالاً مسئول حلالیت ناچیز تمامی سیکلودکسترین‌ها در آب است (Shi et al., 2019, Huang et al., 2018) (Huang et al., 2018, Stachowicz et al., 2011).

مولکول با ایجاد یک حفره آبگریز قادر است که مولکول‌های آلى زیادی را درون خود جای دهد. وارد شدن این ترکیبات به حفره می‌تواند باعث تغییر ویژگی‌های فیزیکی-شیمیایی مولکول "مهمان" مانند حلالیت، انتشار، تصعید، نوسان، تحرک کروماتوگرافی، خاصیت آبگریزی، واکنش پذیری و غیره شود (Huang et al., 2018). با توجه به سازگاری زیستی بتا سیکلودکسترین، این ترکیب کاربرد گسترده‌ای به عنوان مواد کپسوله شده برای داروها و مواد غذایی دارد. از دیگر کاربردهای ممکن این ترکیب استفاده در صنایع آرایشی، شیمیایی و بیوتکنولوژی است. اخیراً جنبه‌های مختلف شیمیایی سیکلودکسترین مورد توجه قرار گرفته است (Loftsson and Duchene, 2007).



**Fig. 1.** The molecular structure of beta cyclodextrin with a molecule unit of glucopyranose builder

شكل ۱- ساختار مولکولی بتا سیکلودکسترین و یک واحد رزیدوی گلوکوپیرانوز سازنده

زیستی تجزیه می‌شوند. همچنین در مقیاس صنعتی قابل تولید هستند و می‌توانند در شکل‌های جامد و غیرقابل انحلال، به صورت دست نخورده یا با تغییراتی بر روی ساختارشان مورد استفاده قرار گیرند. سیکلودکسترین با توجه به آستر یا پوشش آبگریز (هیدروفیبیک) حلقه مرکزی و سطح بیرونی آبدوست (هیدروفیلیک)، معرف یک ساختار درشت حلقه با ویژگی‌های کاملاً مشخص است. حفره هیدروفیبیک قادر به محصور کردن (کپسوله) یک سری از ترکیباتی است که می‌توانند رابطه مهمان-میزبان با این پلی‌ساقاریدها داشته باشند. در واقع این ویژگی کپسوله کردن فواید بسیاری در صنعت دارد زیرا بسته به اهداف مورد نظر، ویژگی‌های فیزیکی، شیمیایی و یا بیولوژیکی یک مولکول هدف (مهمان) می‌تواند اصلاح شود و یا بهبود یابد. علاوه بر این، سیکلودکسترین‌ها می‌توانند به آسانی از مواد ابتکاری سنتز شده و با توجه به واکنش پذیری شیمیایی عالی این ترکیبات، کاربردهای مختلفی در زمینه حذف آلودگی از بخش‌های مختلف محیط مانند آب، هوا، خاک و رسوبات داشته باشند (French, 1957, Szejtli, 1998).

سیکلودکسترین‌ها، الیگوساکاریدهای حلقه‌ای شامل واحدهای گلوکزی هستند که با پیوندهای آلفا-۱ و ۴ به یکدیگر متصل شده‌اند. این دسته از ترکیبات اغلب به عنوان یک مخروط کوتاه کم عمق دارای حفره هیدروفیبیک معرفی می‌شوند که امکان تشکیل کمپلکس با مولکول‌های غیرقطبی متنوع با اندازه‌های اختصاصی را فراهم می‌کنند. با توجه به این توانایی، سیکلودکسترین‌ها به عنوان یکی از مهم‌ترین گیرنده‌های مربوطه در شیمی مولکول‌های بزرگ محسوب شده و به طور موفقیت‌آمیزی در کپسوله کردن مولکول‌های زیستی متنوع، با هدف توسعه سیستم‌های تحويل دارو کاربرد دارند (Campo et al., 2018, De Sousa et al., 2016).

بتاسیکلودکسترین، الیگومر حلقه‌ای شامل واحدهای D-گلوکز است که از ۷ رزیدوی گلوکوپیرانوز ساخته شده است (شکل ۱). مولکول بتاسیکلودکسترین یک مخروط کم عمق و کوتاه حاوی گروه‌های هیدروکسیل اولیه و ثانویه است که لبه‌های بزرگ‌تر و کوچک‌تر در معرض حلال ساختار را شکل می‌دهند. حلقه کوچک‌تر با استفاده از اتم‌های اکسیژن هیدروکسیل (اکسیژن شماره ۶) تعریف شده است. گروه‌های هیدروکسیل ثانویه (اکسیژن شماره ۲ و ۳) لبه بزرگ‌تر را می‌سازند. گروه‌های هیدروکسیل موجود بر

محاسبات NBO قرار می‌گیرد. با استفاده از داده‌های مربوط به آنالیز جمعیت طبیعی (NPA) شاخص‌های فوکوئی برای معرفی سایت‌های فعال مولکول در حمله هسته دوستی به کاتیون‌های فلزی محاسبه شد.

در انتها کمپلکس‌های مربوط به کاتیون‌های فلزی  $Cu^{+1}$  با قرار دادن یون فلزی مربوطه در جایگاه فعال آلفا، بتا و گاما سیکلودکسترین طراحی و با استفاده از روش ذکر شده در بالا بهینه‌سازی شد و محاسبات آنالیز فرکانس هارمونیک برای ارزیابی کمپلکس‌ها صورت گرفت. برای مقایسه کیفیت برهمکنش بین کاتیون  $Cu^{+1}$  و هر کدام از سه ساختار سیکلودکسترین، انرژی کمپلکس شدن ( $\Delta E$ ) با استفاده از معادله زیر ارزیابی شد

$$\Delta E = E_{\text{comp}} - (E_{\text{cyclo}} + E_{\text{cation}}) \quad (1)$$

که در این معادله

$\Delta E_{\text{comp}}$  و  $E_{\text{cyclo}}$  بترتیب انرژی کمپلکس، سیکلودکسترین و کاتیون شرکت کننده در تشکیل کمپلکس مربوطه است.

برای بدست آوردن نتایجی نزدیک به شرایط بیولوژیکی، با به کار گرفتن مدل حلال ضمنی، محاسبات اثر حلال را با استفاده از مدل PCM برای آب به عنوان حلال صورت گرفت. در نهایت، محاسبات اوربیتال طبیعی (Huang et al., 2018) برای اندازه‌گیری برهمکنش‌های درون و بین مولکولی، پیوندهای بین مولکول‌های مورد مطالعه و کاتیون  $Cu^{+1}$  به وسیله تعیین انرژی پایدارسازی  $E^{(2)}$  انجام شد. تمامی محاسبات با استفاده از نرم‌افزار Gaussian 09 (Frisch et al., 2009) انجام شد.

### ۳- نتایج و بحث ۱- آنالیز ساختاری

قبل از پرداختن به نتایج تئوری آنالیز ساختارهای هندسی آلفا، بتا و گاما سیکلودکسترین، لازم به ذکر است که نیروهای بین مولکولی متمایزی مانند برهمکنش‌های هیدروژنی و واندروالسی و همچنین اثرات هیدروفوبیکی مسئول فرایندهای مربوط به این ترکیبات هستند. از این‌رو اندازه‌گیری کمی مقدار مطلق انرژی‌های پایداری

<sup>1</sup> Stabilization Energy

علی‌رغم جذایت این ترکیب برای بسیاری از پژوهشگران، به دلیل اندازه بزرگ آن، تعداد مطالعات نظری محدودی روی آن صورت گرفته است. در این میان کارهای محاسباتی بیشتری برروی مولکول آلفا سیکلودکسترین مشکل از شش گلوکوپیرانوز انجام شده است (Anconi et al., 2007). پژوهش‌ها نشان می‌دهد که کاتیون‌های فلزی می‌توانند در برهمکنش‌های میزبان-مهمان شرکت داشته باشند. به نظر می‌رسد کمپلکس‌های کاتیون-سیکلودکسترین به عنوان کاتالیزور نیز عمل می‌کنند. ژانگ و همکارش نشان دادند که کمپلکس کاتیون دو طرفیتی بتا-سیکلودکسترین ( $M^{2+}/\beta\text{-CD}$ ) در صورتی که فلز شامل  $M=\text{Fe}, \text{Co}, \text{Cu}, \text{Ni}, \text{Zn}$  باشد، به طور نامتقارن تراکم آلدولی را کatalیز می‌کند (Zhang and Xu, 1989).

کمپلکس یون‌های فلزی با سیکلودکسترین می‌تواند به عنوان مدلی برای متالو-آنژیم در نظر گرفته شود. زیرا حضور اتم‌های اکسیژن به عنوان گروه‌های دهنده الکترون در حلقه‌های بزرگ تر و کوچک تر ترکیب می‌تواند محركی برای تشکیل این کمپلکس‌ها باشد.

در این پژوهش، کمپلکس‌های فلزی آلفا، بتا و گاما-سیکلودکسترین همراه با کاتیون  $Cu^{+1}$  مطالعه شد. جایگاه‌های فعال این ترکیبات و انرژی اتصال کاتیون‌ها بررسی شدند. شناسایی سایت‌های فعال احتمالی مولکول برای اتصال فلزات با استفاده از اوربیتال پیوندی طبیعی (Huang et al., 2018) صورت گرفت.

## ۲- مواد و روش

ساختار پایه سیکلودکسترین‌ها ابتدا با استفاده از نرم‌افزار GaussView 05 طراحی شد. سپس ساختارهای هندسی توسط روش نیمه تجربی PM3 به طور کامل بهینه‌سازی شد. ساختارهای بهینه حاصل، مجدداً با استفاده از روش تابعی چگالی (DFT) با به کار بردن تابع هیبریدی B3LYP و مجموعه پایه 6-31g(d,p) 6 بهینه شد تا بهترین ساختارهای هندسی و انرژی‌های مربوطه حاصل شود. برای شناسایی موقعیت قرار گرفتن کاتیون فلزی، محاسبات NBO برای تخمین شاخص‌های فوکوئی انجام شد. در این محاسبات سه حالت برای ساختارهای مورد مطالعه فرض می‌شود. حالت خنثی، آنیونی و کاتیونی ترکیبات که به ترتیب با اضافه و کم کردن یک تک الکترون به ساختار خنثی طراحی شده و تحت



شناسایی و معرفی جایگاه‌های فعال یک مولکول برای شرکت در واکنش‌های هسته دوستی، الکترون دوستی و حتی رادیکالی باشد. تابع فوکوئی برای حمله الکتروفیلی ( $f_k^-$ ) و نوکلئوفیلی ( $f_k^+$ ) اتم  $k$  به ترتیب با حذف و اضافه کردن یک الکترون به ساختار خنثی مولکول مطابق روابط زیر محاسبه می‌شود.  $q_k(N+1) - q_k(N)$  و  $q_k(N-1) - q_k(N)$  ترتیب بار اتم مربوطه در گونه‌های آنیونی، خنثی و کاتیونی است (Fuentealba et al., 2016).

$$f_k^- = q_k(N-1) - q_k(N) \quad (2)$$

$$f_k^+ = q_k(N) - q_k(N+1) \quad (3)$$

محاسبات NBO نشان داد که توزیع بار الکتریکی بر روی اتم‌های اکسیژن گلوکوبیرانوز به عنوان واحدهای سازنده هر ترکیب تقریباً یکسان است. در این کار مهم ترین تابع فوکوئی برای تشکیل کمپلکس‌های فلزی  $\text{Cu}^{2+}$  است که بیشترین مقدار این شاخص یعنی ۰.۰۱۲ و ۰.۰۰۵-۰.۰۰۳ به ترتیب مربوط به اتم اکسیژن شماره ۱ یعنی جزء سازنده دهانه کوچک‌تر مخروط سیکلودکسترین و اکسیژن شماره ۴ به عنوان جزء سازنده دهانه بزرگ‌تر مخروط و اتم اکسیژن شماره ۶ است. با استفاده از این نتایج می‌توان نشان داد که اکسیژن‌های حلقه کوچک‌تر خصلت هسته دوستی بیشتری نسبت به اکسیژن‌های موجود بر روی دهانه بزرگ‌تر ترکیبات دارند. از این‌رو کاتیون‌های فلزی تمايل بیشتری نسبت به این اتم‌ها دارند. با توجه به نتایج ذکر شده، کاتیون‌های فلزی در این ناحیه با سیکلودکسترین جایگیری شد و شبیه‌سازی‌های مربوطه انجام شد. از آنجایی که فاصله بین اتم‌های اکسیژن مقابله هم در دهانه کوچک‌تر مخروط بسیار کمتر از اتم‌های موجود در دهانه بزرگ‌تر است، به نظر می‌رسد دهانه کوچک‌تر مکان مناسب‌تری برای تشکیل کمپلکس‌های فلزی باشد.

### ۳-۳- کمپلکس‌های فلزی و اجزاء سازنده آن‌ها

صورت‌بندی‌های پایدار سیکلودکسترین‌های آلفا، بتا و گاما در شکل ۲ نشان داده شده است. این تصاویر با استفاده از نرم‌افزار GaussView 05 تهیه شده است. پیوندهای هیدروژنی درون مولکولی مربوط به اتم‌های موجود بر روی گروه‌های هیدروکسیل و

این ترکیبات حلقوی با استفاده از محاسبات اصول اولیه یک مسئله چالش برانگیز است. نیروهای مسئول تشکیل کمپلکس‌های مربوطه، مجموع نیروهای ثانویه ضعیفی هستند که پارامترهای ترمودینامیکی مربوط به آن‌ها به راحتی تفسیر نمی‌شود. از این رو آنالیز انرژی‌های نسبی می‌تواند ابزار مفیدی برای درک مناسبی از پایداری‌های کمپلکس مهمان-میزبان باشد (Zhang and Xu, 1989).

با توجه به نکته ذکر شده در بالا، استفاده از روش‌های نظری سنگین‌تر همراه با مجموعه پایه‌های بزرگ‌تر می‌تواند میزان خطای حاصل از اندازه‌گیری این مقادیر انرژی را کاهش دهد. اما با توجه به تعداد زیاد اتم‌های موجود در این ساختارها و محدودیت سیستم‌های محاسباتی در دسترس، محاسبات بهینه‌سازی ساختاری با استفاده از DFT و سطح نظری B3LYP همراه با مجموعه پایه متوسط 6-31g(d,p) انجام شد. سپس محاسبات مربوط به بهینه‌سازی کمپلکس‌های فلزی نیز در سطح نظری مذکور صورت گرفت. در انتها برای تأیید ساختار هندسی کمپلکس‌های فلزی، محاسبات فرکانس بر روی آن‌ها انجام شد.

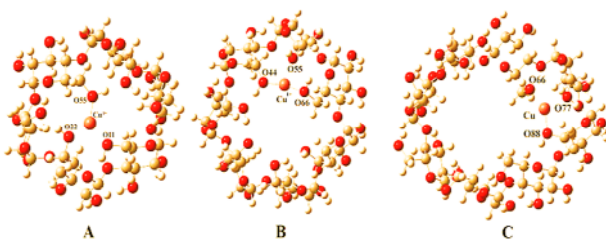
در ابتدا بهینه‌سازی ساختار هندسی آلفا، بتا و گاما سیکلودکسترین به طور کامل با استفاده از روش نیمه تجربی و در سطح PM3 انجام شد. سپس ساختارهای به دست آمده از این روش با استفاده از روش نظریه تابعی چگالی (DFT) و در سطح نظری B3LYP/6-31g(d,p) به طور کامل بهینه شد. به دنبال آن، محاسبات فرکانس هارمونیک در همین سطح نظری بر روی ساختارهای تعادلی انجام شد. عدم مشاهده فرکانس موهومی نشان دهنده آن است که تمامی ساختارها، مینیمم‌های واقعی موجود بر روی سطح انرژی پتانسیل (Anconi et al., 2007) هستند. سپس ساختار کمپلکس‌های مربوط به کاتیون  $\text{Cu}^{2+}$  طراحی و با استفاده از روش مذکور به طور کامل بهینه‌سازی شد. همچنین آنالیز فرکانس بر روی این ساختارها انجام شد. حقیقی بودن تمامی فرکانس‌های مربوطه حاکی از آن است که این ساختارها در حالت پایه هستند.

### ۲-۳- شناسایی جایگاه فعال ترکیبات

تابع فوکوئی با تغییر شمار الکترون‌های سیستم، مشتقی از دانسیته الکترونی است و برای پیش‌بینی مکان‌های حمله الکتروفیل و نوکلئوفیلی مفید است. این تابع می‌تواند توصیف مفیدی برای



می‌شود، در سیکلودکسترین نوع آلفا و گاما فقط یک گروه هیدروکسیل اولیه با کاتیون مس یک ظرفیتی برهمکنش داده است؛ در صورتی که در بتا سیکلودکسترین به طور همزمان دو گروه هیدروکسیل همسایه با این کاتیون پیوندهای کوئروردیناسیونی دارند.



**Fig. 3.** Stable formations of metal complexes, Alpha (A), Beta (B) and Gamma (C)  $\text{Cu}^{1+}$  Cyclodextrins.

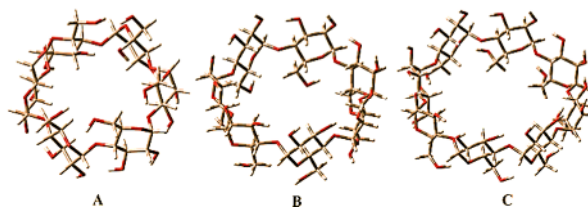
### شکل ۳- ساختارهای پایدار کمپلکس های فلزی $\text{Cu}^{1+}$

سیکلودکسترین های آلفا (A)، بتا (B) و گاما (C) سیکلودکسترین

انرژی تشکیل (E) و برهمکنش های بین کاتیون و سیکلودکسترین یا انرژی کمپلکس شدن ( $\Delta E$ ) ترکیبات مورد مطالعه در این کار مطابق معادله ۱ در جدول ۲ گزارش شده است. ساختار با کمترین انرژی در فاز گازی متعلق به کمپلکس آلفا و در محلول آبی مربوط به بتا است. با توجه به نتایج درج شده در جدول ۲ به راحتی می‌توان نشان داد که کمپلکس بتا احتمال تشکیل بیشتری در فاز آبی داشته و بنابراین می‌تواند کاندیدای احتمالی بازیافت یا حذف کاتیون فلزی مس ( $(+)\text{Cu}^{1+}$ ) از پساب های صنعتی و معدنی باشد.

### ۴- آنالیز اوربیتال پیوندی طبیعی

آنالیز اوربیتال های پیوندی طبیعی (Huang et al., 2018) روش مؤثری برای ارزیابی اثرات عدم استقرار و همچنین پیش‌بینی بار، مرتبه پیوند، نوع پیوند، برهمکنش های دهنده-گیرنده و غیره است. در این کار محاسبات NBO با استفاده از نظریه اختلال مرتبه دوم روشن ماتریس فاک با استفاده از نرم افزار Gaussian 09 در سطح نظری (DFT/B3LYP/6-311+ +G(d,p)) انجام شد که نتایج برهمکنش های بین دهنده-گیرنده ترکیب های مورد مطالعه و کاتیون  $\text{Cu}^{1+}$  با تعیین انرژی پایدارسازی  $E^{(2)}$  انجام شد که نتایج در جدول ۳ گزارش شده است.



**Fig. 2.** Stable formations of alpha (A), beta (B) and gamma (C) cyclodextrin

شکل ۲- صورت‌بندی های پایدار سیکلودکسترین های آلفا (A)، بتا (B) و گاما (C) سیکلودکسترین

اتم های اکسیژن مجاور می‌تواند عامل اصلی انحلال پذیری پایین این ترکیبات در حلal آب باشد. انرژی الکترونی کل (E) مربوط به ساختارهای بهینه شده آلفا، بتا و گاما سیکلودکسترین مربوطه بر حسب واحد اتمی (a.u) در سطح نظری ذکر شده در فاز گازی و آبی در جدول ۱ گزارش شده است. مقدار ممکن دو قطبی این ترکیبات نیز از محاسبات بهینه‌سازی ساختاری استخراج شد که برای هر سه ساختار آلفا، بتا و گاما سیکلودکسترین به ترتیب برابر  $7/40$ ،  $7/27$  و  $7/22$  است که نشان می‌دهد تقارن مربوط به واحدهای سازنده این مولکول‌ها در طی بهینه‌سازی حفظ شده است.

جدول ۱- انرژی الکترونی کل مربوط به ساختارهای بهینه شده آلفا، بتا و گاما سیکلودکسترین (بر حسب هارتی)

**Table 1.** The total electron energy related to optimized structures of alpha, beta and gamma cyclodextrin (at Hartree)

Structure	Gas phase	Water phase
$\alpha$ -Cyclodextrin	-3664.610314	-3664.656288
$\beta$ -Cyclodextrin	-4275.381663	-4275.381504
$\gamma$ -Cyclodextrin	-4886.147298	-4886.202593

ساختارهای بهینه شده کمپلکس های فلزی آلفا، بتا و گاما سیکلودکسترین همراه با  $\text{Cu}^{1+}$  در شکل ۳ نشان داده شده است. نتایج حاکی از آن است که در این ساختارها، رزیدوهای گلوکوپیرانوزی دهانه کوچک‌تر مخروط به سمت یکدیگر جهت‌گیری کرده‌اند. این تغییر جهت‌گیری‌ها لازمه تشکیل کمپلکس‌های پایدارتر است. هرچه میزان این تغییرات در برابر کاتیون‌های مختلف بیشتر باشد، قدرت به دام افتادن آن‌ها توسط سیکلودکسترین‌ها بیشتر است. همان‌گونه که در این شکل مشاهده



جدول ۲- انرژی الکترونی کل (E) و انرژی تشکیل کمپلکس های فلزی بهینه شده ( $\Delta E$ ) آلفا، بتا و گاما سیکلودکسترین در فاز گازی و حلال آبی

**Table 2.** The total electron energy (E) and the energy of optimized metal complexes ( $\Delta E$ ) alpha, beta, and gamma cyclodextrin

Structure	E(Hartrre)		$\Delta E$ (kcal/mol)	
	Gas	Water	Gas	Water
$\alpha$ -Cyclodextrin- Cu <sup>1+</sup>	-5304.752809	-5304.828124	-176.70	-109.83
$\beta$ -Cyclodextrin- Cu <sup>1+</sup>	-5915.511158	-5915.603785	-168.54	-141.49
$\gamma$ -Cyclodextrin- Cu <sup>1+</sup>	-6526.252307	-6526.361003	-153.18	-101.41

جدول ۳- آنالیز نظریه اختلال (روش ماتریس فاک) کمپلکس های فلزی آلفا، بتا و گاما سیکلودکسترین

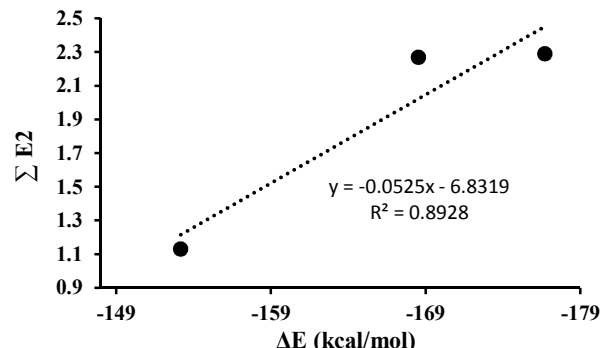
**Table 3.** Analysis of the distribution theory (Fock matrix method) cyctoldocastine metal complexes of alpha, beta and gamma

Structure	Donor	Bond type	Acceptor	Stabilization energy ( $E^2$ )	$\sum E^2$
$\alpha$ -Cyclodextrin- Cu <sup>1+</sup>	Cu	loan pair	BD* (O11)	1.05	2.29
			BD* (O22)	0.41	
			BD* (O55)	0.83	
$\beta$ -Cyclodextrin- Cu <sup>1+</sup>	Cu	loan pair	BD* (O44)	0.77	2.27
			BD* (O55)	0.29	
			BD* (O66)	1.21	
$\gamma$ -Cyclodextrin- Cu <sup>1+</sup>	Cu	loan pair	BD* (O66)	0.44	1.31
			BD* (O77)	0.25	
			BD* (O88)	0.62	

جدول که انرژی عدم استقرار لازم برای انتقالات ممکن مختلف بین دهنده-گیرنده را در مولکول نشان می دهد، به ترتیب بیشترین مقدار را برای کمپلکس های آلفا، بتا و گاما دارد. با مقایسه نتایج موجود در جدول های ۲ و ۳ می توان مشاهده کرد که یک همبستگی خوب بین مقدار انرژی تشکیل کمپلکس های فلزی و انرژی پایدارسازی این ترکیبات وجود دارد (شکل ۴).

#### ۴- نتیجه گیری

در این پژوهش، کمپلکس های مربوط به آلفا، بتا و گاما سیکلودکسترین همراه با کاتیون مس یک ظرفیتی با استفاده از نرم افزار Gaussian 09 طراحی و با نرم افزار GaussView 05 نظر ساختاری بهینه سازی شد. همچنین جایگاه های فعال این ترکیبات برای جای گیری کاتیون مربوطه با استفاده از NBO<sup>3</sup> و شاخص های فوکوئی سناسایی شدند. نتایج حاصل از محاسبات بهینه سازی کمپلکس ها نشان داد که آلفا و بتا سیکلودکسترین



**Fig. 4.** Correlation diagram between energy values of metal complexes ( $\Delta E$ ) and stabilization energy ( $E^2$ )

شکل ۴- نمودار همبستگی بین مقدار انرژی تشکیل کمپلکس های فلزی ( $E^2$ ) و انرژی پایدارسازی ( $\Delta E$ )

جدول ۳ نشان می دهد که زوج تنها<sup>1</sup> کاتیون مس در سطح دهنده و اوربیتال های ضد پیوندی (BD\*) اتم های اکسیژن در گیر با این کاتیون در سطح گیرنده عمل می کنند. مقدار  $E^{(2)}$  موجود در

<sup>1</sup> Loan Pair

**۵- قدردانی**  
از آقای دکتر ابراهیمی و مسئولان محترم آزمایشگاه شبیه‌سازی دانشگاه زاهدان که همکاری لازم را در انجام این پژوهش داشته‌اند، قدردانی می‌شود.

به ترتیب در فاز گازی و حلال آبی به طور مؤثرتری قادر به کیلیت شدن با کاتیون مس ( $^{2+}$ ) هستند و توانایی بیشتری برای زدودن این کاتیون از پساب‌های صنعتی دارند. همچنین مقدار انرژی پایدارسازی ( $E^2$ ) نتایج حاصل از انرژی تشکیل کمپلکس‌های فلزی را تأیید می‌کند.

## References

- Anconi, C. P., Nascimento, C. S., Fedoce-Lopes, J., Dos Santos, H. F. & De Almeida, W. B. 2007. Ab initio calculations on low-energy conformers of  $\alpha$ -cyclodextrin. *Journal of Physical Chemistry*, 111, 12127-12135.
- Campo, A. F., Sancho, M. I., Melo, G., Dávila, Y. A., Gasull, E. 2018. In vitro and in vivo inhibition of Hass avocado polyphenol oxidase enzymatic browning by paeonol,  $\beta$ -cyclodextrin, and paeonol:  $\beta$ -cyclodextrin inclusion complex. *Journal of Bioscience and Bioengineering*, 127 (6), doi: 10.1016/j.jbiox.2018.11.009.
- Crini, G. 2014. A history of cyclodextrins. *Chemical Reviews*, 114, 10940-10975.
- De Sousa, S. M. R., Guimarães, L., Ferrari, J. L., De Almeida, W. B. & Nascimento Jr, C. S. 2016. A DFT investigation on the host/guest inclusion process of prilocaine into  $\beta$ -cyclodextrin. *Chemical Physical Letters*, 652, 123-129.
- French, D. 1957. The schardinger dextrans. *Advances in Carbohydrate Chemistry*, 12, 189-260.
- Frisch, M., Trucks, G., Schlegel, H., Scuseria, G., Robb, M., Cheeseman, J., et al., 2009. *Gaussian 09 Revision D. 01*, Gaussian Inc., Wallingford CT.
- Fuentelba, P., Cardenas, C., Pino-Rios, R. & Tiznado, W. 2016. Topological analysis of the Fukui function. *Journal of Chemical Theory and Computation*, 6(5), 1470-1478.
- Huang, W., Hu, Y., Li, Y., Zhou, Y., Niu, D., Lei, Z. et al., 2018. Citric acid-crosslinked  $\beta$ -cyclodextrin for simultaneous removal of bisphenol A, methylene blue and copper: the roles of cavity and surface functional groups. *Journal of the Taiwan Institute of Chemical Engineering*, 82, 189-197.
- Kfouri, M., Geagea, C., Ruellan, S., Greige-Gerges, H. & Fourmentin, S. 2019. Effect of cyclodextrin and cosolvent on the solubility and antioxidant activity of caffeic acid. *Food Chemistry*, 278, 163-169.
- Loftsson, T. & Duchene, D. 2007. Cyclodextrins and their pharmaceutical applications. *International Journal of Pharmaceutics*, 329 (1-2), 1-110
- Shi, Y., Zhang, J., He, J., Liu, D., Meng, X., Huang, T. & He, H. 2019. A method of detecting two tumor markers (p-hydroxybenzoic acid and p-cresol) in human urine using a porous magnetic  $\beta$ -cyclodextrine polymer as solid phase extractant, an alternative for early gastric cancer diagnosis. *Talanta*, 191, 133-140.
- Stachowicz, A., Styrcz, A., Korczowiec, J., Modaressi, A. & Rogalski, M. 2011. DFT studies of cation binding by  $\beta$ -cyclodextrin. *Theoretical Chemistry Accounts*, 130, 939-953.
- Szejtli, J. 1998. Introduction and general overview of cyclodextrin chemistry. *Chemical Reviews*, 98, 1743-1754.
- Zhang, Y. & Xu, W. 1989. The aldol condensation catalyzed by metal (II)- $\beta$ -cyclodextrin complexes. *Journal of Synthetic Communications*, 19, 1291-1296.

